## Foydalanilgan adabiyotlar ro'yxati:

- 1. Уершов И.А., Медведев С.В. О плотности сейсмической энергии колебаний грунта при взрывах.// Вопросы инженерной сейсмологии, вып.9, Труды института физики Земли, N33(200), 1964. 50-58с., М.: Изд. АН СССР, 1964.
- 2. Медведев С.В. Инженерная сейсмология, М.: Стройиздат, 1962
- 3. Медведев С.В., Лямзина Г.А. Сейсмический эффект взрывов на руднике//Вопросы инженерной сейсмологии, вып.6.Труды института физики Земли, N21(188), 1962. 73-97с., М.: Изд. АН СССР, 1962
- 4. Цейтлин Я.И.,Гилманов Р.А. Об энергетиеском критерии опасности действия взрывных волн промышленных взрывов//Взрывное дело №85/42. Сейсмика промышленных взрывов. Под ред. д.т.н.В.Н.Мосинца. М.: Изд."Недра",1983. 61-73С

## ЦИФРОВАЯ ОБРАБОТКА МИКРОСТРУКТУРЫ ЧУГУНА ПО МИКРОСКОПИЧЕСКОМУ СНИМКУ

Самандаров Илхомжон Расулович к.т.н.доцент кафедры «Математики и информатики»

Алмалыкского филиала ТГТУ E-mail: samadarov.2003@gmail.com

Абдухошимов Журабек Улугбекович

Ступант Алман иского филиала ТСТУ

Студент Алмалыкского филиала ТГТУ

E-mail: <u>10112004jurabek@gmail.com</u> Содиков Темирали Гуломжонович

Студент Алмалыкского филиала ТГТУ

E-mail: temiralisodikov@gmail.com

Мустафин Рамир Рифатович

Студент Алмалыкского филиала ТГТУ E-mail: deltahavy1405@gmail.com

Аннотация. В данной статье рассмотрены основные аспекты цифровой обработки микроструктуры чугуна на основе микроскопических снимков. Программно-реализованы функции различных фильтров (Гаусса и пороговая фильтрация бинаризация) на изображениях в соответствии с ГОСТ 3443-87. В результате обработки металлографического изображения чугуна была выделена структура графита.

**Ключевые слова:** микроструктура, микроскопический снимок, фильтрация, бинаризация, цифровая обработка и анализ изображения.

Простой математической моделью цифровых различных снимков, является матрица размера N x N обозначаемая как  $A = (a_{ij})$ , где  $i = \overline{1, N}$  и  $j = \overline{1, N}$ , где  $a_{ij}$  элемент изображения. Дальнейшая цифровая обработка означает преобразование полученного изображения с помощью математических или логических операций с целью достижения решения поставленной задачи [1-3].

Общая схема процесса обработки выглядит следующим образом: обрабатываемая матрица сканируется, например с лева направо и сверху вниз. Обработка ведется над каждым элементом вместе с её окрестными элементами, а сам элемент рассматривается как центр этой окрестности (маски).

Введём определения:

1) 
$$M=m(a_{ij})=\begin{bmatrix} a_{i-1,j-1} & a_{i-1,j} & a_{i-1,j+1} \\ a_{i,j-1} & a_{ij} & a_{i,j+1} \\ a_{i+1,j-1} & a_{i+1,j} & a_{i+1,j+1} \end{bmatrix}$$
 — назовём  $m$  — окрестностью

точки  $a_{ii}$ .

2) 
$$\Phi = \begin{pmatrix} f_{\lambda\mu} \end{pmatrix} = \begin{bmatrix} f_{11} & f_{12} & f_{13} \\ f_{21} & f_{22} & f_{23} \\ f_{31} & f_{32} & f_{33} \end{bmatrix} - \text{назовём ядром фильтра 3 x 3, где } \lambda = \overline{1,k} \text{ и}$$
 
$$\mu = \overline{1,k}.$$

3) 
$$B = (b_{ij}) = \Phi \oplus M = b_{ij} = \frac{1}{c} \sum_{\lambda=1}^{k} \sum_{\mu=1}^{k} f_{\lambda\mu} \cdot a_{i+(\lambda-2),j+(\mu-2)}$$

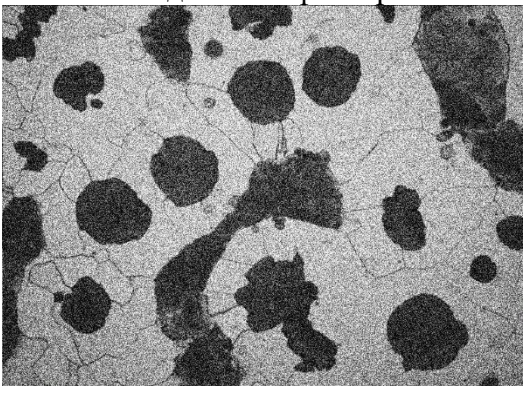
3)  $B = (b_{ij}) = \Phi \oplus M = b_{ij} = \frac{1}{S} \sum_{\lambda=1}^{k} \sum_{\mu=1}^{k} f_{\lambda \mu} \cdot a_{i+(\lambda-2),j+(\mu-2)}$  - фильтрующий оператор, где S - сумма всех элементов фильтра  $S = \sum_{\mu=1}^{k} \sum_{\mu=1}^{k} f_{\lambda \mu} \cdot a_{i+(\lambda-2),j+(\mu-2)}$  $\sum_{\lambda=1}^k \sum_{\mu=1}^k f_{\lambda\mu}, \ b_{ij}$  – элемент результирующего изображения,  $i=\overline{1,\ N}$  и  $j=\overline{1,\ N}$ . Аналогичную формулу можно выводить для фильтра размером 5 х 5.

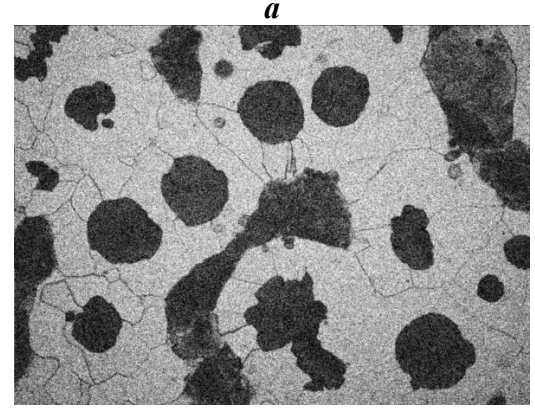
Фильтр Гаусса — это один из наиболее распространенных фильтров для сглаживания изображений и устранения шума. Он основан на математической функции Гаусса, которая описывает распределение вероятности случайной величины (шум рассматривается как случайная величина, в виде элемента изображения, появляющейся на изображении). Вид Гауссовского фильтра, например для фильтра размером 3 х 3 и 5 х 5 соответственно:

	1	2	1
1 16	2	4	2
	1	2	1

<u>1</u> 273	1	4	7	4	1
	4	16	26	16	4
	7	26	41	26	7
	4	16	26	16	4
	1	4	7	4	1

Практика показывает, что применять фильтра Гаусса эффективней в изображении с оттенками серого. На рис.1 показано исходное и отфильтрованное изображения.





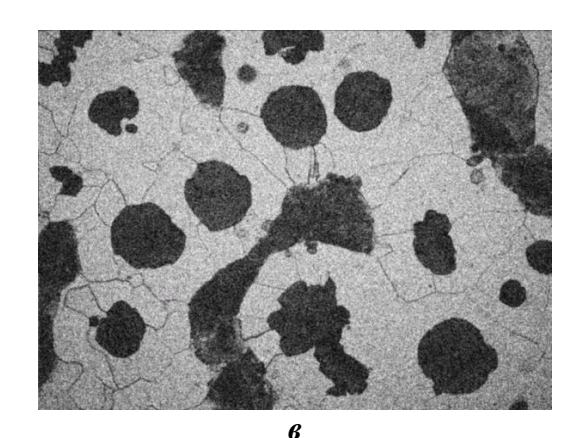


Рис. 1 a) Зашумлённое изображение, б) Обработанное изображение фильтром 3на3 в) Обработанное изображение фильтром 5на5

**Пороговая фильтрация (бинаризации).** Применение пороговой фильтрации к изображению градиента позволяет преобразовать его в бинарное изображение  $B=(b_{ij})$ , где пиксели  $G=(g_{ij})$  выше заданного порога считаются структурными элементами, а пиксели ниже порога - фоном.

$$b_{ij} = egin{cases} {
m ec}$$
ли  $g_{ij} \geq T$ , то  $b_{ij} = 255$ (белый) — структурный элемент,  $g_{ij} < T$ , то  $g_{ij} <$ 

где T – *пороговое значение*.

Способы определения порогового значения приведены в [4].

Применение пороговой фильтрации позволяет упростить дальнейшую обработку изображения, такую как сегментация объектов или распознавание образов, поскольку она позволяет выделить только интересующие структуры на изображении. Пороговое значение Т может быть выбрано в зависимости от конкретной задачи и требуемого уровня чувствительности к границам.

Ниже на рис.2 приведены фрагменты исходного и бинарного изображения в цифровом виде:

$$\begin{bmatrix} 5 & 8 & 10 & 8 & 5 \\ 4 & 7 & 9 & 6 & 3 \\ 1 & 1 & 5 & 1 & 1 \\ 2 & 4 & 7 & 2 & 3 \\ 1 & 3 & 4 & 2 & 4 \end{bmatrix}$$

$$\begin{bmatrix} 255 & 255 & 255 & 255 & 255 \\ 0 & 255 & 255 & 255 & 0 \\ 0 & 0 & 255 & 0 & 0 \\ 0 & 0 & 0 & 0 & 0 \end{bmatrix}$$

Рис.2 а) Исходное изображение, б) Бинарное изображение

Для применения пороговой фильтрации к этому изображению, нам нужно задать пороговое значение Т. Допустим, мы выберем порог равный 5. Тогда матрица после пороговой фильтрации будет выглядеть следующим образом:

Как видно из результатов, пиксели с яркостью выше порогового значения (5) были преобразованы в белый цвет (255), А а пиксели с яркостью ниже порога - в черный цвет (0). Таким образом, мы получили бинарное изображение, в котором белые пиксели представляют структурные элементы (границы), а черные — фон рис. 3. Это бинарное изображение может быть использовано для дальнейшей обработки, такой как сегментация объектов или распознавание образов.

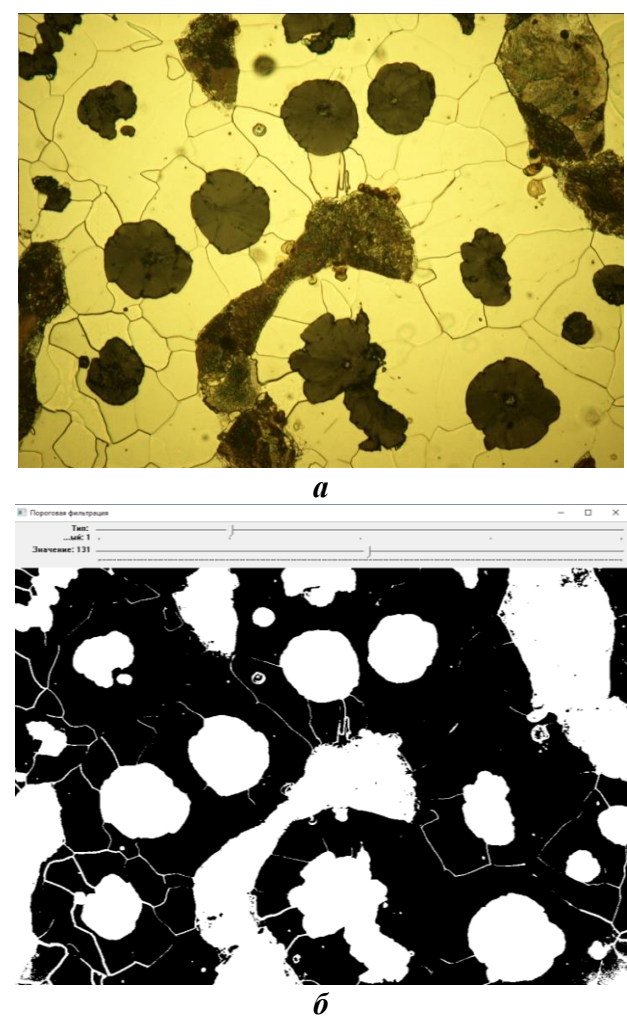


Рис. 3 а) Исходное изображение, б) Применение пороговой фильтрации

## Заключение.

В ходе исследования были рассмотрены основные этапы цифровой обработки микроскопических снимков, включая предварительную обработку, выделение границ, устранение шума, а также бинаризация. Продемонстрировано, что использование современных методов обработки изображения, может значительно улучшить автоматизацию обработки, сократить время и процесс анализа микроструктуры чугуна необходимое для получения результатов на основе микроскопических снимков. Результаты данной работы показывает её потенциал для применения в области металлургии, материаловедения и производства.

## Литература.

- 1. Грузман И.С., Киричук В.С., Косых В.П., Перетягин Г.И., Спектор А.А. Цифровая обработка изображений в информационных системах: Учебное пособие. Новосибирск: Изд-во НГТУ, 2000. 168.
- 2. Samandarov I.R., Manshurov Sh.T., Dushatov N.T., Miratoyev Z.M. Image processing in C++ using the OpenCV library. THE UNIVERSE. Technical sciences. No.5 (110), May, 2023.
- 3. Bulanova Yu.A., Sadykov S.S., Samandarov I.R., Malikov M.N., Manshurov Sh.T. Research on the choice of algorithms for recognizing neoplasms on mammograms. Zibaldone. Estudios Italianos. Vol.X, Issue 2 (2023): 502-511.
- 4. OpenCV: Image Thresholding